

II-73

直接ろ過に関する基礎的検討
—濁質除去に及ぼすろ材配列と水流方向の効果—

北見工業大学 正員 海老江 邦雄
 // 学生員 笠原伸介
 // // 安出卓司
 // // 渋谷真祐
 // // 李富生

1. まえがき

一般に採用されている下向流ろ過においては、ろ層は成層化（上層に細砂、下層に粗砂）しており、濁質のほとんどが表層付近で捕捉される。こうしたろ過においては、ろ過水は低濁となるが損失水頭の発生量は大きくなる。一方、Ivesらによって提唱された上向流ろ過においては、濁質がろ層内部で分散して捕捉されるため、損失水頭の発生量は小さくなるが、ろ過水水質は多少悪くなる。さらに均一径ろ材を用いた上向流ろ過では、重力沈澱の効果を期待できないため、下向流ろ過よりも抑留量当りの損失水頭が大きくなるといった欠点も指摘されている。このように、ろ過水濁度を一定の限度内に保持しつつ発生する損失水頭をできるだけ抑制する上において、ろ材の配列や水流方向を検討することは非常に重要と考えられる。

本論では、『水・空気併用法』という新しい手法によって作られたろ材の完全混合ろ層と従来の成層ろ層における上向流ろ過と下向流ろ過を行い、これら一連の実験で得られた損失水頭とろ過水濁度を基に、輸送段階の因子を評価し、抑留量当りの損失水頭などを比較考察することによって、混合ろ層の有効性、および混合ろ層と成層ろ層の基礎的な濁質除去特性について検討している。

2. 実験装置と実験方法

実験装置の概要は図1に示す。上向流の場合には急速混和槽をろ過筒の直下に設置した。ろ過原水は、本学水道水に人工濁質としてカオリンを 20mg/l 注入した後、凝集剤として硫酸アルミニウムを 10mg/l 注入して急速混和したもの用いた。ろ材は有効径 0.54mm 、均等係数 1.9 の珪砂（比重 2.65 ）を用い、空隙率 40.8% でろ層厚 6cm になるように充填した。成層ろ層については、ろ材充填後、膨張率 30% の逆洗を 1.5分間 行い、その後膨張率 20% の逆洗を 1.5分間 行うことによって調整した。また混合ろ層については、膨張率 25% の逆洗と強度 $1.2\text{m}^3/(\text{m}^2 \cdot \text{min})$ の空洗とを併用することによってろ層の強攪拌を 3分間 行い、その後、ろ層内に残留している空気を一瞬の強い逆洗で排出するという新しい手法によって調整した。ろ過時間はいずれも 4時間 とし、成層、混合面ろ層について、上向流と下向流、およびろ速 120 と 240m/day における実験を行い、ろ層の損失水頭および原水とろ過水の濁度（積分球式濁度計）を測定した。またろ過実験に先立って、各ろ層の上層部（ $0\sim1\text{cm}$ ）、中層部（ $2.5\sim3.5\text{cm}$ ）、下層部（ $5\sim6\text{cm}$ ）から採取したろ材の粒径分布（画像処理法）およびろ過筒流入口における原水中のフロック粒径（光学顕微鏡法）を測定した。

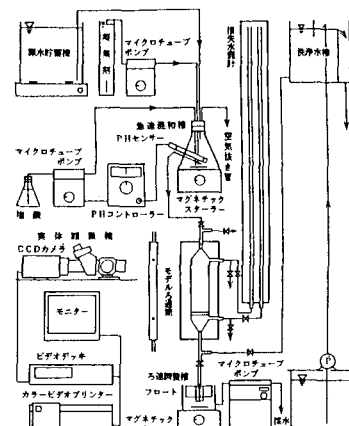


図1 実験装置の概要（下向流）

Effect of medium stratification and flow direction on the removal of suspended particles in direct sand filtration by Kunio EBIE, Shinsuke KASAHARA, Takuji YASUDE, Shinsuke SHIBUYA and Fusheng Li

3. 実験結果と考察

(1) ろ材とフロックの粒径分布 …… 図2は成層ろ層と混合ろ層におけるろ材の粒径分布の測定結果である。これによると、今回採用したろ層の混合と成層化の方法は十分に所期の目的を達成していると考えられる。すなわち、成層ろ層と混合ろ層における粒径分布の違いがよく現れており、前者の上層と下層における平均径の差は 0.62mm と顕著であるのに対し、後者においてはほぼ一様となりその差は僅か 0.05mm である。両ろ層におけるろ材配列を模式的に示すと図3のようである。これらでは、ろ層全体の平均空隙率は同じであるが、空隙寸法については成層ろ層では表層で最も小さく、下層に向かうに従って大きくなるのに対し、混合ろ層においては一様である。こうした空隙の寸法分布の違いがろ過結果に差を発生させる原因となる。

また表1に、原水中のフロックの平均径と標準偏差およびフロック密度関数より算出した有効密度を示す。これによると、ろ材の有効径はフロックの平均径の 151 倍に相当し、図4に示す状況と同様に、ろ材空隙の寸法とフロック径の間には大きな違いが認められる。したがって、O'Melia が提唱したように、ろ過における濁質の捕捉過程は輸送と付着の2段階で考えなければならない。ここでは、凝集条件が全ての実験において同一であるから、付着段階の因子の効果には差がない。それゆえ、ろ材配列や水流方向の違いから来る濁質除去率の差に基づいて、輸送段階の因子の効果を評価することが可能になる。

(2) 損失水頭とろ過水濁度の動き …… 図5は損失水頭発生量と濁度流出率の経時変化を示している。最初に、損失水頭はいずれのろ速においても同じ傾向で発現し、成層ろ層・下向流ろ過>混合ろ層・上向流ろ過>混合ろ層・下向流ろ過>成層ろ層・上向流ろ過の順となった。一般に採用されている成層ろ層・下向流ろ過における4時間後の損失水頭発生量を基準に比較すると、ろ速 120m/day の場合、混合ろ層・上向流ろ過は 19%、混合ろ層・下向流ろ過は 32%、成層ろ層・上向流ろ過は 54%、またろ速 240m/day の場合、混合ろ層・上向流ろ過は 24%、混合ろ層・下向流ろ過は 35%、成層ろ層・上向流ろ過は 42% いずれの場合にも損失水頭発生量が抑制されている。

つぎに平均濁度流出率については、図5のいずれのろ速においても、成層ろ層・上向流ろ過>混合ろ層・上向流ろ過>混合ろ層・下向流ろ過>成層ろ層・下向流ろ過の順となった。表2は、4時間平均濁度除去率を示している。この表を用いて、成層ろ層と混合ろ層の平均濁度除去率を比較すると、いずれのろ速においても下向流ろ過においては成層ろ層、上向流ろ過においては混合ろ層の除去率が高くなった。しかしながら、その差はいずれのろ速においても 3~5% であり、ろ材配列が平均濁度除去率に及ぼす影響は小さいことが確認された。また、成層ろ層と混合ろ層において、上向流ろ過と下

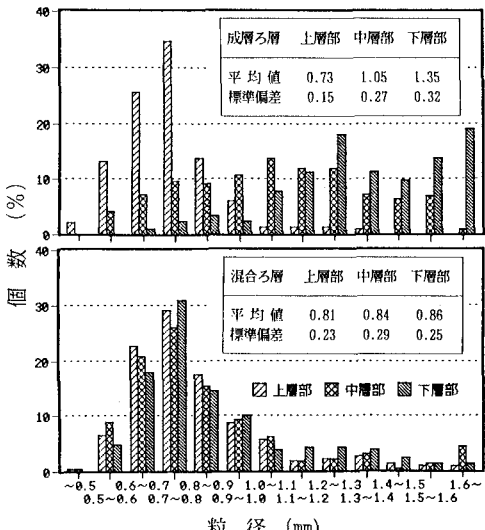


図2 ろ材の粒径分布

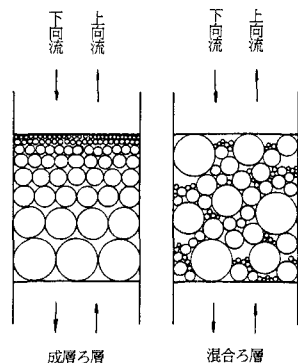


図3 各ろ層の模式図

表1 フロックの測定結果

平均径	3.58 μm
標準偏差	2.35 μm
有効密度	1.54 g/cm³

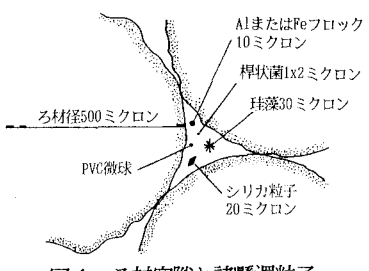


図4 ろ材空隙と諸懸濁粒子

向流ろ過の平均濁度除去率を比較すると、成層、混合いずれのろ層においても下向流ろ過の除去率が7~13%高くなり、濁度除去率の観点からは下向流ろ過が上向流ろ過よりも望ましいという結果が得られた。

(3)『さえぎり』と『重力沈澱』の効果……図6に上向流ろ過と下向流ろ過におけるろ材の上向面と下向面における輸送段階の主要因子(さえぎりと重力沈澱)の作用状況を示す。ろ過時間が短ければ、上向流ろ過におけるろ材頂部の抑留物質量は無視できると考えられる。そこで、海老江の方法に従つて『さえぎり』と重力沈澱による濁質除去効果(抑留量と比率)を算出し、表3に示した。これによると、輸送段階の因子の効果は、既往の研究結果と同様に、今回採用したいずれのろ層、ろ速においても『さえぎり』の効果が重力沈澱の効果より卓越しており、全体の88.4~94.8%になるという結果が得られた。また当然のことながら、重力沈澱の効果はろ速120m/dayの方がろ速240m/dayにおけるよりも高い比率を示している。

(4) 抑留量当たりの損失水頭発生量の動き……表4は抑留量(成層ろ層・上向流ろ過における4時間抑留量を基準とした)当りの正味の損失水頭発生量を示している。これによると、ろ速120m/dayにおいては混合ろ層・上向流ろ過>成層ろ層・下向流ろ過>混合ろ層・下向流ろ過>成層ろ層・上向流ろ過の順に、ろ速240m/dayにおいては成層ろ層・下向流ろ過>混合ろ層・上向流ろ過>成層ろ層・上向流ろ過>混合ろ層・下向流ろ過の順となっている。そこで、成層ろ層と混合ろ層で比較すると、下向流ろ過においては、成層ろ層が混合ろ層よりもろ速120m/dayでは22%、240m/dayでは51%大きいのに対し、上向流ろ過においては、成層ろ層が混合ろ層よりもろ速120m/dayでは40%、240m/dayでは19%小さい。この理由は、成層ろ層の場合、下向流ろ過で濁質捕捉量が最も多くなる上層部に径が最小のろ材が配置されているのに対し、上向流ろ過で濁質捕捉量が最も多くなる下層部に径が最大のろ材が配置されているためと考えられる。

つぎに、混合ろ層の抑留量当たりの損失水頭発生量については、上向流ろ過の方がろ速120m/dayでは33%、240m/dayでは31%大きいのに対し、成層ろ層では、上向流ろ過の方がそれぞれ34%、29%小さかった。この理由は、混合ろ層の場合は重力沈澱の因子の作用(上向流ろ過における抑留物質は下向流ろ過におけるより低密になる)がろ層の空隙寸法分布の作用より大きく影響したのに対し、成層ろ層の場合はろ層の空隙寸法分布の作用(上向流ろ過における懸濁粒子は下向流ろ過におけるよりろ層内部に進行する)の方が大きく影響したためと考えられる。

4. まとめ

(1) 本論で新たに採用した『水・空気併用法』は、ろ層内のろ材を完全

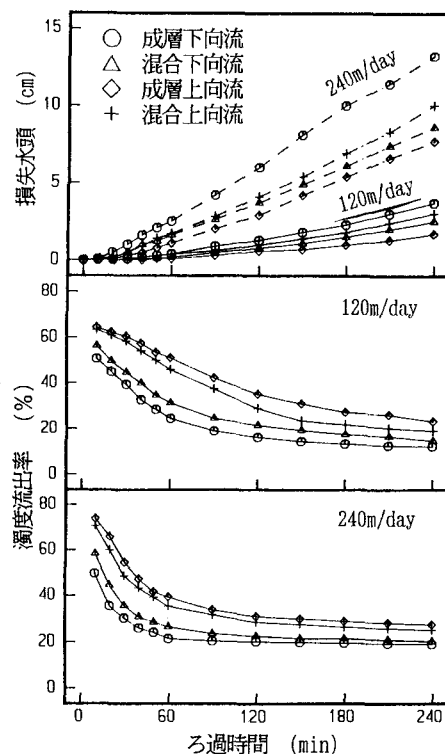


図5 損失水頭と濁度流出率

表2 4時間平均濁度除去率

ろ速 (m/day)	ろ材 配列	濁度除去率(%)	
		下向流	上向流
120	成層	78.1	60.0
	混合	73.1	64.7
240	成層	75.7	62.3
	混合	72.7	65.1

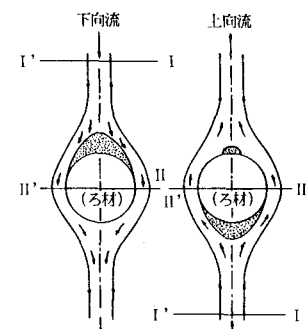


図6 凝集性粒子の卓越抑留傾向
(Iは“さえぎり”、Gは“重力沈殿”を表す)

に混合させる上において、非常に有効な方法であることが確認された。

(2) 損失水頭発生量は、ろ速 120、240m/day のいずれにおいても、成層ろ層・下向流ろ過 > 混合ろ層・上向流ろ過 > 混合ろ層・下向流ろ過 > 成層ろ層・上向流ろ過の順となり、一般に広く採用されている成層ろ層・下向流ろ過は、他の3方法より好ましくないろ過方法となることを明らかにした。

(3) 平均濁度除去率は、ろ速 120、240m/dayにおいても、成層ろ層・下向流ろ過 > 混合ろ層・下向流ろ過 > 混合ろ層・上向流ろ過 > 成層ろ層・上向流ろ過の順となり、下向流ろ過は、ろ層の成層化の如何によらず上向流ろ過よりも高い値を示した。また、ろ材配列と水流方向が濁度除去率に及ぼす影響については、前者では3~5%であったが後者では 7~13%程度と大きな差を示した。

(4) 輸送段階の卓越因子はさえぎりであり、今回の4条件の平均値においては 92.2%を占めた。また、重力沈澱の効果については成層ろ層の方が大きく、混合ろ層の場合の平均 1.7倍となった。

(5) 抑留量当りの損失水頭発生量には、重力沈澱の因子とろ層の空隙寸法分布の作用が影響しており、下向流ろ過では成層ろ層において、上向流ろ過では混合ろ層において大きな値を示した。また、混合ろ層では上向流ろ過において、成層ろ層では下向流ろ過において大きな値となった。

(6) 直接ろ過におけるろ材配列と水流方向を総合的に判断すると、今回採用した4方法の中では混合ろ層の下向流ろ過が最も妥当な方法であろうと考えられる。

5. あとがき

最後に、一連の実験を実施するにあたり、北見工業大学土木工学科上下水道工学研究室の輪島秀則技官および学部4年生の小坂茂仁君の協力を得たことを付記し、感謝の意を表す。

【文 献】

- 1) 海老江邦雄：急速ろ過ろ層における抑留物質の挙動(I)，水道協会雑誌，第 493 号，pp.25-46, '75.10
- 2) E.W.J.Diaper and K.J.Ives : Filtration Through Size-Graded Media, Jour.of Su.Eng.Div., ASCE, SA3, vol.89, June '65
- 3) 丹保憲仁，渡辺義公：アルミニウム・フロックの密度に関する研究，水道協会雑誌，第 397 号，pp.2-10, '67.10
- 4) 日本国特許庁：特許公報，第 835386 号，'76.3.3
- 5) K.J.Ives : Progress In Deep-Bed Filtration, Water Supply, vol 8, Jönköping, pp.151-155, '90
- 6) 周 柏青，北尾高嶺，木曾祥秋：上向流急速ろ過におけるろ過流動化防止法とろ過性能に影響を及ぼす因子の検討，水道協会雑誌，第 692号，pp.17-23, '92.5
- 7) 丹保憲仁：急速ろ過進歩の動向，用水と廃水，vol11 No.5, pp.1-9, '69
- 8) 角田省吾，青柳由重：直接凝集ろ過法に関する実験的研究，水道協会雑誌，第486号，pp.2-10, '75.3
- 9) 藤田賢二：急速ろ過池のろ材層厚と粒径とに関する考察，水道協会雑誌，第485号，pp.2-14, '75.2
- 10) 丹保憲仁，小笠原紘一：浄水の技術，技報堂出版

表3 さえぎり "I" と 重力沈澱 "G"

ろ速 (m/day)	ろ材 配列	抑留量(mg)		輸送因子の効果(mg)		輸送因子の効果(%)	
		下向流	上向流	I	G	I	G
120	成層	74.41	57.13	65.77	8.64	88.4	11.6
	混合	69.65	61.65	65.65	4.00	94.3	5.7
240	成層	144.34	118.62	131.48	12.86	91.1	8.9
	混合	138.47	124.05	131.26	7.21	94.8	5.2

表4 抑留量当りの損失水頭

ろ速 (m/day)	ろ材 配列	H/σ (mm/mg)	
		下向流	上向流
120	成層	0.44	0.29
	混合	0.36	0.48
240	成層	0.92	0.65
	混合	0.61	0.80

※H:損失水頭, σ:抑留量